

## ΚΟΙΤΑΣΜΑ ΑΕΡΙΟΥ ΝΟΤΙΟΥ ΚΑΒΑΛΑΣ -ΤΑΦΡΟΓΕΝΗΣ ΛΕΚΑΝΗ ΠΡΙΝΟΥ-

### II. ΠΡΟΕΔΡΟΥ<sup>1</sup>

#### ΣΥΝΟΨΗ

Το κοίτασμα αερίου της Νοτίου Καβάλας εντοπίζεται μεταξύ δύο εβαποριτικών οριζόντων στην λεκάνη του Πρίνου σε ταμευτήρα αποτελούμενο από κλαστικούς σχηματισμούς τουρβιδιτικής προέλευσης.

Ο τύπος παγίδευσης αυτού είναι ένα μείγμα ρηγματικού αντικλίνου και ιξηματογενούς αποσφήνωσης. Το αέριο αποτελείται επικρατέστερα από μεθάνιο και σε μικρότερα ποσοστά από βαρύτερα αέρια, καθώς και από συμπυκνωμένους υδρογονάνθρακες.

**ΛΕΞΕΙΣ ΚΛΕΙΔΙΑ:** λεκάνη, Πρίνος, κοίτασμα, αντίκλινο, ταμευτήρας, αέριο εβαπορίτες, τουρμπιδίτες, γεώτρηση.

#### ABSTRACT

The South Kavala gas field located at the southwest edge of the Prinos basin was discovered at the turn of 1972 -73.

The basin formation started in the middle Miocene with continental deposits. Later on the sea transgressed all over the basin until the south Kavala ridge at the southern limit lifted up and transformed it to a lagoon, leading to the formation of Evaporites in upper Miocene time. At Pliocene the sea dominated again covering even the previous mentioned ridge. An unconformity exists between Miocene and Pliocene visible mainly on the basin flanks.

The trapping mechanism is a combination of a roll-over anticline in front of a northeast - southwest syn-genetic fault and a pinch - out of the sediment deposits to the southwest towards the South Kavala ridge. The basement itself forms an erosional high.

The gas reservoir is found between two evaporitic horizons and consists mainly of sandstone, microconglomeratic alternating with shale and marl. It is of turbiditic origin forming sedimentological cycles. Individual facies A4/B2, C and E representative of the turbidite facies classification of Walker and Mutti (1973) have been recognised. The net pay thickness is small and amounts up to eleven meters.

The gas consists 83% of methan, 7.5% of ethan, 1.5% of propan and around 1.5% of butan. It is free of H2S and contains condensate.

As source rocks are considered the under continental and marine conditions deposited preevaporitic shales. The coal beds are also considered to be potential source rocks. The gas is of low maturity and its generation started during latest Miocene and continued through the Pliocene.

The main migrations paths apparently were along the faults that cross the basin.

The in place reserves are close to  $1.10^9 \text{ m}^3$  αερίου. The field is on production from 1981 and 80% of the recoverable reserves have been already produced.

Key words: basin, Prinos, field, anticline, reservoir, gas, evaporites, turbidite, well.

#### 1. ΟΡΙΟΘΕΤΗΣΗ

Το κοίτασμα αερίου της Νοτίου Καβάλας εντοπίζεται 7χλμ. δυτικά της νήσου Θάσου και 11 χλμ. νοτιότερα από το κοίτασμα Πρίνου σε βάθος θάλασσας 50 μέτρων (Fig.1). Αμφότερα τα κοιτάσματα παγίδευνται σε ρηγματικά αντίκλινα εντός της νεογενούς λεκάνης του Πρίνου, στο βορειότερο άκρο του Αιγαίου.

#### 2. ΙΣΤΟΡΙΚΟ

Η ανακάλυψη του κοιτάσματος έλαβε χώρα στο τέλος του 1972 με αρχές του 1973 από την εταιρεία OCEANIC, τότε κάτοχο της παραχώρησης που εκτείνονταν από τα ανατολικά παραλία της Χαλκιδικής μέχρι τα

\* South Kavala Gas Field - Taphroγεινη Βιβλιοθήκη "Θεόφραστος" - Τμήμα Γεωλογίας. Α.Π.Θ.

1. Hellenic Petroleum S.A. 56A Omonias 65110 KAVALA Greece.

θαλάσσια ελληνοτουρκικά σύνορα ανατολικά της Σαμοθράκης. Η πρώτη γεώτρηση, Νότιος Καβάλα 1, συνάντησε την κορυφή του κοιτάσματος σε βάθος 1636μ. (5369 πόδια). Ακολούθησε αμέσως η Νότιος Καβάλα 2 στο βόρειο σκέλος της δομής. Τα αποτελέσματα αυτής ήταν όμως αρνητικά καθό δύον οι αντίστοιχοι του κοιτάσματος οδήζοντες συναντήθηκαν κάτω από την επαφή αερίου - νερού. Ο μικρός δύγκος του κοιτάσματος ήταν ήδη δεδομένος (Proedrou and Sidiropoulos 1992). Τα αποθέματα αυτού μόλις πλησίαζαν το  $1.10^9$  m<sup>3</sup>. Η έρευνα προχώρησε βορειότερα στο αντίκλινο του Πρίνου.



Fig 1. OIL AND GAS FIELDS IN THE NORTHERN AEGEAN SEA

Πέντε χρόνια αργότερα παράλληλα με την ανάπτυξη του κοιτάσματος Πρίνου αποφασίζεται και η συνεχι- μετάλλευση του υπό διαπραγμάτευση κοιτάσματος.

Εκτελούνται πέντε επί πλέον γεωτρήσεις για την περιχάραξη και την καλύτερη γνώση αυτού. Απ αυτές η Νότιος Καβάλα 3 διεκόπη για τεχνικούς λόγους ενώ η 3A εισήλθε κατ ευθείαν στην ξώνη νερού. Από τις υπόλοιπες τρεις η Νότιος Καβάλα 3B και 4 εξοπλίσθηκαν ως πηγάδια παραγωγής. Η άντληση του αερίου άρχισε το 1981 και συνεχίζεται μέχρι σήμερα από τις δύο γεωτρήσεις.

### 3. ΜΕΘΟΔΟΣ ΑΝΑΚΑΛΥΨΗΣ

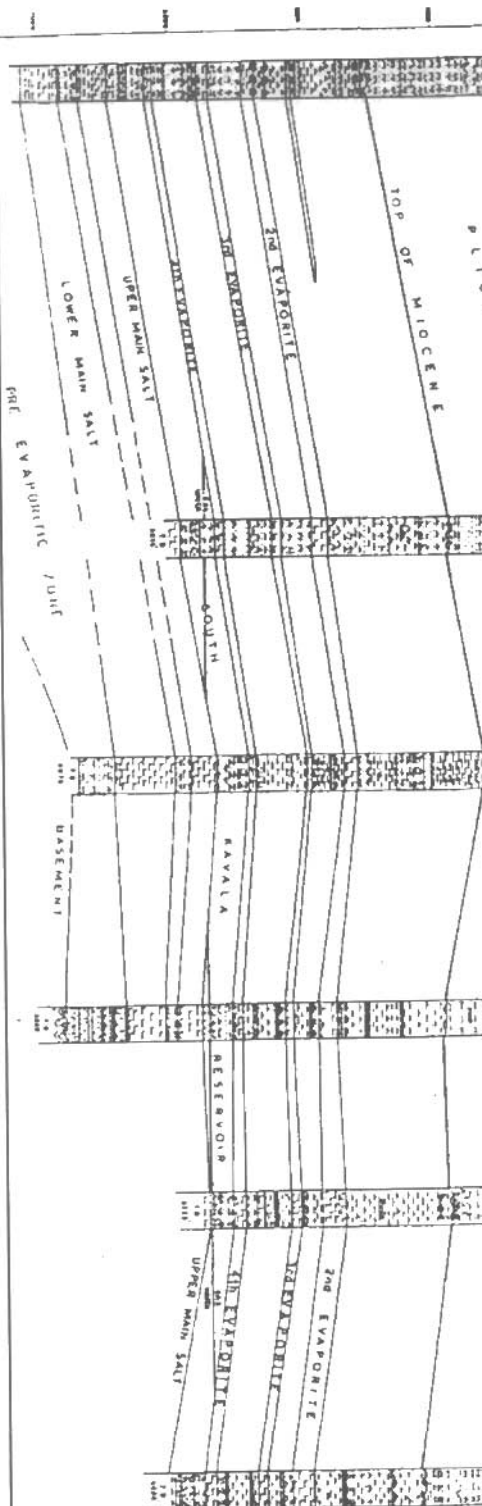
Ο κατακερματισμός και η βύθιση του Αιγαίου στην διάρκεια του Νεογενούς οδήγησε στον σχηματισμό μιας σειράς υψηλάτων και τάφρων στις οποίες συσσωρεύθηκαν ιζήματα σημαντικού πάχους (Proedrou and Sidiropoulos 1992). Η πετρελαική έρευνα στην γειτονική λεκάνη του Θερμαϊκού στο τέλος της δεκαετίας του '60 εντόπισε ιζήματα πάχους αρκετών χιλιάδων μέτρων με ενδείξεις υδρογονανθράκων. Οι σεισμικές καμπάνιες που ακολούθησαν στις αρχές της δεκαετίας του '70 στην περιοχή του Βορείου Αιγαίου προσδιόρισαν μια σειρά ταφρογενών λεκανών ανατολικά και δυτικά της Θάσου με βάθη που ξεπερνούν τα 5000μ. Ταυτόχρονα πλήθος οργανισμών αντικατίνων χαρτογραφούνται στις εν λόγω λεκάνες (Lalechos and Savoyat 1977). Η περιοχή παρουσίαζε υψηλό ενδιαφέρον για συνέχιση της έρευνας. Η πρώτη γεώτρηση ανατολικά της Θάσου εντοπίζει ένα κοίτασμα με χαμηλό ιξώδες πετρελαίου ενώ η δεύτερη ανακαλύπτει το κοίτασμα της Νότιου Καβάλας. Οι επόμενες γεωτρήσεις οδηγούν στην ανακάλυψη του γνωστού κοιτάσματος του Πρίνου.

### 4. ΣΤΡΩΜΑΤΟΓΡΑΦΙΚΗ ΚΑΙ ΠΑΛΑΙΟΓΕΩΓΡΑΦΙΚΗ ΕΞΕΛΙΞΗ

Η στρωματογραφική εξέλιξη των λεκανών είναι πλήρως τεκμηριωμένη καθό δύον ενας μεγάλος αριθμός γεωτρήσεων έχει διερευνήσει αυτές. Η χαρακτηριστική υποδιαίρεση της λεκάνης του Πρίνου στην οποία εντάσσεται η περιοχή του κοιτάσματος Νότιου Καβάλας συμπυκνώνεται σε τρεις στρωματογραφικές σειρές (Pollack 1979):

- α) Προεβαπτική Σειρά
- β) Εβαπτική Σειρά
- γ) Μετεβαπτική Σειρά

Η εξέλιξη της πρώτης σειράς εκπροσωπείται πλήρως από την βαθειά γεώτρηση Νότιος Καβάλα 2. Οι πρώτες αποθέσεις αποτελούνται από την πρώτη γεώτρηση Νότιος Καβάλα 1, η οποία συνέβη σε θερμόγκριζα αργιλών και πολλαπλών ενστρώσεων από άνθρακα.



*Fig. 2. STRATIGRAPHIC - STRUCTURAL CORRELATION OF THE SOUTH KAVALA FIELD WELLS (in feet)*

Ψηφιακή Βιβλιοθήκη "Θεόφραστος" - Τμήμα Γεωλογίας. Α.Π.Θ.

Ακολουθεί μια αργύριο-ασβεστολιθική ζώνη στην οποία επικρατούν σκοτεινόγκριζοι οργανογενείς άργιλοι με εναλλαγές από ασβεστολιθικούς δολομίτες και λιγότερο ανυδρίτες και ψαμμίτες. Στην συνέχεια εμφανίζονται οι αντίστοιχοι του ταμιευτήρα του Πρένου σχηματισμοί με επικράτηση δύμας των αργιλών έναντι των ψαμμίτων. Στην περιοχή του κοιτάσματος η ίδια σειρά επιφροσωπείται από χονδρόκοκκους ψαμμίτες και κροκαλοπαγή με συντατικά από το γειτονικό μεταμορφωτιγένες υπόβαθρο σε μια πλούσια αργιλική μάζα, καστανοκόκκινη στην βάση και γκριζα προς τα άνω. Στην σειρά αυτή επικράτησε η εβαποριτική η οποία αποτελείται από μια σειρά εβαποριτικών στρωμάτων, επικρατέστερα ορυκτό αλάτι με ανυδρίτικα εγκλείσματα και λιγότερο συμπαγή ανυδρίτη (Fig. 2). Μεταξύ των εβαποριτών παρεμβάλλονται αποθέσεις μεγάλου πάχους από άργιλο, μάργαρη, ψαμμίτη και κροκαλοπαγή πολύ συχνά σε μορφή τουφιδιτικών εισιθολών από την περιφέρεια. Το τέλος της σειράς χαρακτηρίζεται από μια ασυμφωνία αποτέλεσμα διακοπής της ιζηματογένεσης του Μειοκαίνου και διάβρωσης αυτού στην περιφέρεια της λεκάνης. Ακολουθεί η επίκλινη του Πλειοκαίνου με επικρατέστερα θαλάσσιες κλαστικές αποθέσεις ως μεταβαπτική σειρά.

Με την έναρξη σχηματισμού της λεκάνης η οποία τοποθετείται στο μέσο Μειόκαινο οι χερσαίες αποθέσεις επικρατούν σ' όλο το εύρος αυτής (Proedrou 1988). Η παρουσία πολλαπλών στρωμάτων άνθρακος συνηγορεί για την ύπαρξη εκτεταμένων ελών. Πολύ σύντομα η θάλασσα κατακλύνει την γρήγορα καταδυόμενη λεκάνη. Παράλληλα η βαθμαία ανάδυση του υψόμετρου της Νοτίου Καβάλας οδηγεί σε στάδιο προσωρινής απομόνωσης της θάλασσας εως ότου η ολοκληρωτική του ανύψωση απομονώνει παντελώς αυτή και στην διάρκεια του Μεσσηνίου την μεταβάλει σε μια λιμνοθάλασσα (Proedrou 1979). Είναι η γνωστή "Salinity Crisis" που απαντάται σ' όλη την Μεσόγειο θάλασσα (HSU 1972). Με την έναρξη του Πλειοκαίνου εισερχόμαστε στη φάση απόλυτης θαλασσοκυριαρχίας.

## 5. TEKTONIKH

Η έντονη τεκτονική που χαρακτηρίζει τις λεκάνες εφελκυσμού στο Αιγαίο αποτυπώνεται με τον πιο ανάγλυφο τρόπο στη λεκάνη του Πρένου. Εντονα ρήγματα τόσο στις παρυφές όσο και στο εσωτερικό αυτής διαμορφώνουν όχι μόνο το σχήμα και το μέγεθος της αλλά και την παλαιογεωγραφική της εξέλιξη, το είδος της ιζηματογένεσης και το κυριότερο την δημιουργία αντικλινικών δομών.

ΒΑ-ΝΔ και ΒΔ-ΝΑ ρήγματα βαρύτητας κατά μήκος των οποίων έλαβε χώρα η κατάδυση της λεκάνης προσδιορίζουν το πλαίσιο αυτής (Proedrou 1979). Το υπόβαθρο της τάφρου στην περιοχή της Νοτίου Καβάλας κατέρχεται από τα νοτιοδυτικά σχετικά ομαλά (Fig.3) ενώ νοτιοανατολικά ένα σπίτημα κλιμακωτών ρηγμάτων σε BA-ΝΔ κατεύθυνση δημιουργεί ένα απότομο ανάγλυφο (Fig.4). Στο μέτωπο αυτού σχηματίζεται ένα roll-over όλων των μειοκανικών σχηματισμών ενώ ασύμφωνα επικάθηται οι πλειοκανικές αποθέσεις στο νοτιοανατολικό άκρο αυτού.

Ενα μεγάλης εμβέλειας ρήγμα που κατευθύνεται ANA-ΔΒΔ και στην συνέχεια πρέφεται προς τα δυτικά και περιβάλλει την ευρύτερη περιοχή της δομής προκαλεί την μετάπτωση του υποβάθρου αρκετές δεκάδες μέτρων και σύντομα στο κατώτερο τμήμα της εβαποριτικής σειράς χωρίς να προσεγγίσει τον ταμιευτήρα του κοιτάσματος. Ως εκ τούτου επηρρέασε περισσότερο την προεβαπτοριτική σειρά ενώ η επίδραση της στην εβαποριτική εκδηλώνεται με απότομη κλίση αυτής προς το κέντρο της λεκάνης.

## 6. ΔΟΜΗ

Ο σχηματισμός της δομής είναι ένας συνδυασμός αναθιλωσής του υποβάθρου, η μορφολογία του οποίου αντικατοποιείται στο αντίκλινο, του προαναφερόμενου ρήγματος με κατεύθυνση BA-ΝΔ στο μέτωπο του οποίου δημιουργείται ένα roll-over (αναθιλωση) των σχηματισμών της προεβαπτοριτικής και εβαποριτικής σειράς και επί πλέον μιας αποσφήνωσης αυτών προς τα νοτιοδυτικά προς το ύψωμα της Νοτίου Καβάλας (Fig.3&4). Η δομή κλείνει προς τα βόρεια και βορειοδυτικά ακολουθώντας την βύθιση του υποβάθρου.

Ο ταμιευτήρας του κοιτάσματος εντοπίζεται μεταξύ των τετάρτου και πέμπτου εβαποριτικού ορίζοντα με το πρώτο να σχηματίζει το στεγανό κάλυμμα αυτού (Fig.2). Η επαφή αερίου-νερού τοποθετείται σε βάθος 1723μ.(5654 πόδια) κάτω από την επιφάνεια της θάλασσας ενώ το κλείσιμο της δομής ανέρχεται στα 87μ.

## 7. ΤΑΜΙΕΥΤΗΡΑΣ

Η σύσταση των ιζημάτων του ταμιευτήρα είναι καθαρά κλαστικής προέλευσης με το πάχος αυτών να διαφοροποιείται από 52 έως 82μ. Οι ιζηματογένεις αυτοί σχηματισμοί παρουσιάζουν γενικά ενιαία οριζόντια εξάπλωση και υποδιαιρούνται σε τρεις επί μέρους ορίζοντες (Fig.5):

- 1) Ανώτερος Ψαμμιτικός Ψηφιακή Βιβλιοθήκη "Θεόφραστος", Τμήμα Γεωλογίας Α.Π.Θ. και ίλινώδεις, με ασβεστοτική

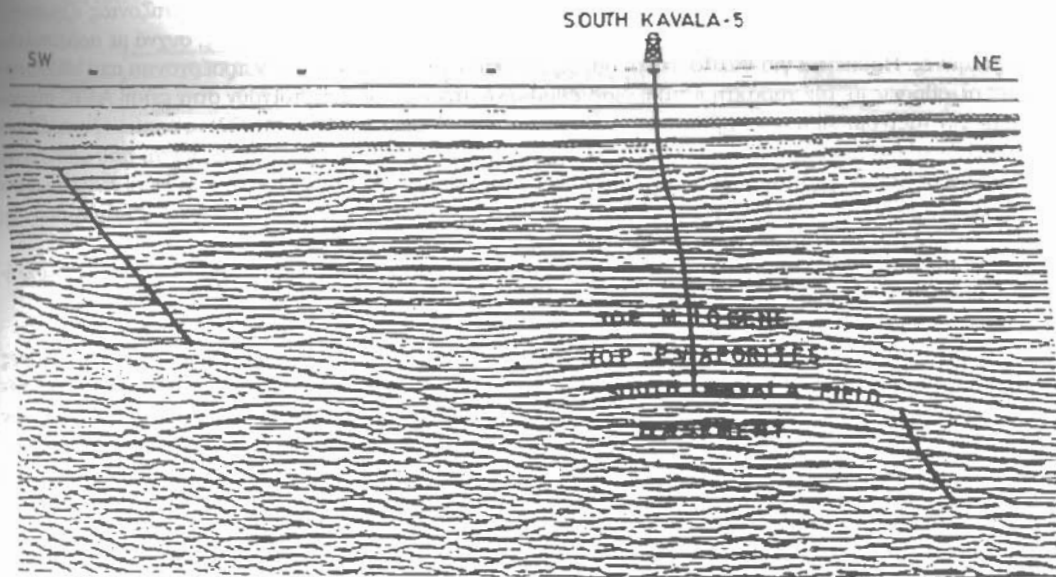
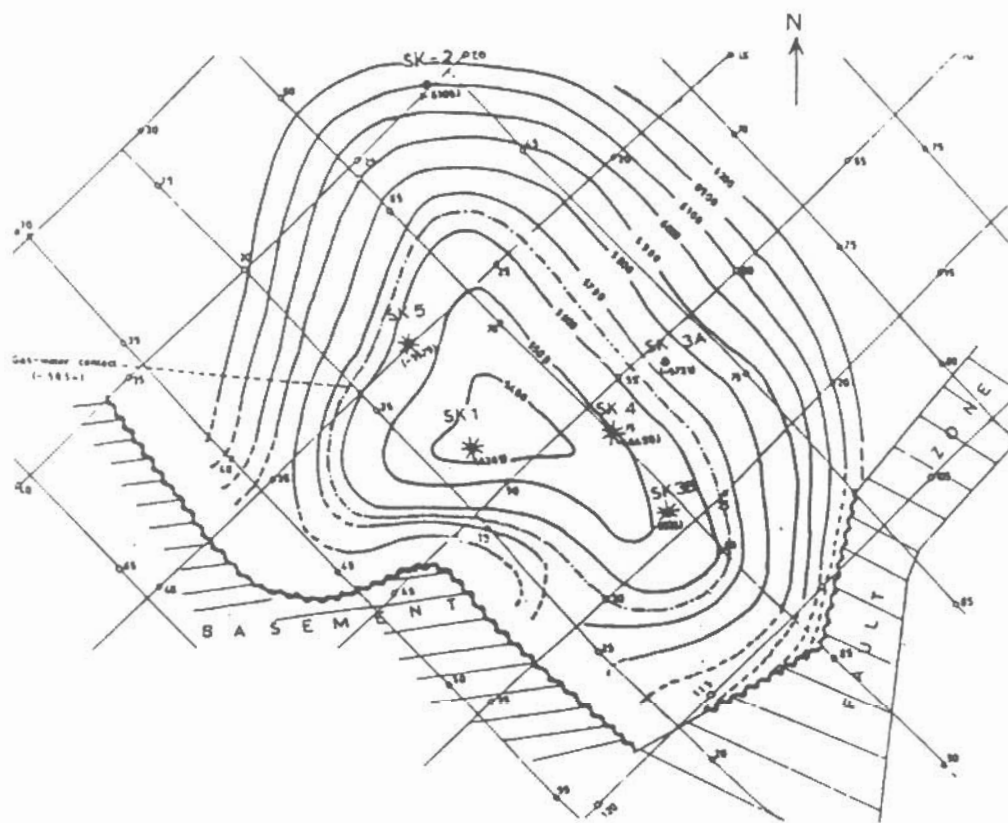


Fig. 3.



Ψηφιακή Βιβλιοθήκη "Θεόφραστος" - Τμήμα Γεωλογίας, Α.Π.Θ.  
 Fig 4. CONTOUR MAP AT THE TOP OF THE SOUTH KAVALA RESERVOIR (contour intervals 100 feet)

συγκολλητική ύλη, συχνά στην βάση χονδρόκοκκους και μικροχροκαλοπαγείς σχηματίζοντας ιζηματογενείς κύκλους. Εναλλάσσεται με μάργες και αργιλούς, γκριζους - σκοτεινόγκριζους, συχνά με ασβεστολιθικές λαμίνες. Πρόκειται για θαλάσσιες αποθέσεις οι οποίες ως επί το πλείστον προέρχονται από υποθαλάσσιες οιλισθήσεις με την χαρακτηριστική διαβαθμισμένη στρώση και αντιστοιχούν στην φάση A4/B2 σύμφωνα με την ταξινόμηση των τουρβιδιτικών φάσεων από τον Walker και Mutti (1973) οι οποίοι τροποποίησαν το κλασικό διάγραμμα του Buma (1962). Η κορυφή του ορίζοντα αυτού χαρακτηρίζεται από ομοιογενείς φαμμίτες σε ενναλαγές με μάργες που προφανώς εκπροσωπούν την φάση C. Η αναγνώριση των επιμέρους τουρβιδιτικών φάσεων στηρίζεται στην μελέτη των πυρήνων και των γεωφυσικών καταγραφών ίδιως της ακτινοβολίας -γ και της πυκνότητας - νετρονίου (Fig.5).

Ο ορίζοντας αυτός αποκτά ιδιαίτερο ενδιαφέρον καθ όσον σ αυτά τα στρώματα παρατηρείται εξ ολοκλήρου η συσσώρευση του αερίου.

2) Αργιλικός-Μαργαριτικός Ορίζοντας: Αργιλοί και μάργες, γκριζοι-σκοτεινόγκριζοι με ασβεστολιθικές λαμίνες και με άφθονα διαγενετικά εγκλείσματα ανυδρίτη που συχνά σχηματίζουν συμπαγείς ενστρώσεις συνθέτουν τον ορίζοντα αυτόν, που προφανώς αντιστοιχεί στην φάση E της προαναφερόμενης ταξινόμησης των τουρβιδιτών. Εμφανίζονται ακόμη στρώματα κροκαλοπαγών με συστατικά από μεταμορφωμένα πετρώματα, φαμμίτες και μάργα σε μια πλούσια αργιλική μάζα με φαινόμενα αποθέσεων από υποθαλάσσιες οιλισθήσεις. Η ζώνη αυτή δεν παρουσιάζει ενδιαφέρον λόγω απουσίας πορώδων στρωμάτων.

3) Κατώπερος Ψαμμιτικός Ορίζοντας: Αποτελείται από φαμμίτες, λεπτόχροκκους και ίλινθδεις, με ασβεστοτική και αργιλική συγκολλητική ύλη, στην βάση συχνά χονδρόκοκκους και μικροχροκαλοπαγείς, σπανιότερα με κροκαλοπαγή στρώματα σε μια πλούσια αργιλοψαμμιτική μάζα, σχηματίζοντας ιζηματογενείς κύκλους δύπως στον ανώτερο ορίζοντα.

Εναλλάσσεται με μάργες και αργιλούς που συχνά φέρουν εγκλείσματα διαγενετικού ανυδρίτη. Πρόκειται το ίδιο για θαλάσσια ιζήματα με συγκέντρωσης από υποθαλάσσιες οιλισθήσεις. Οι φαμμίτες αυτού του ορίζοντα περιέχουν ποσότητες πετρελαίου οικονομικά μη εκμεταλλεύσιμες, προφανώς λόγω της χαμηλής διαπερατότητας.

Συνολικά λιγότερο από το ήμισυ του πάχοντος αυτών των σχηματισμών αντιπροσωπεύει πορώδη πετρώματα.

Η φτωχή ταξινόμηση των κόκκων καθώς και το μεγάλο ποσοστό σε συστατικά από το μεταμορφωμένο υπόβαθρο και σε αστριόους σε γωνιώδη έως υπογωνιώδη μορφή μαρτυρούν για την σύντομη διαδρομή και γορήγορη απόθεση των ιζημάτων αυτών.

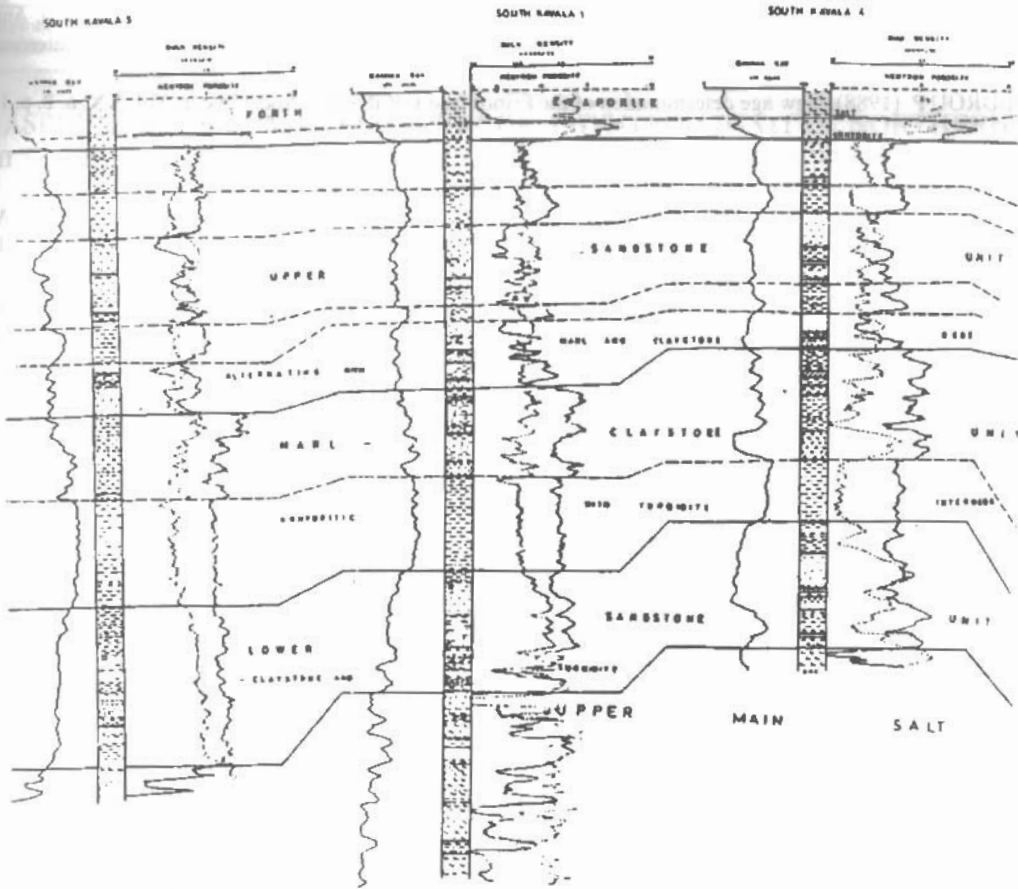
Η έκταση του κοιτάσματος ανέρχεται γύρω στα 4 τ.χλμ. Το αέριο συγκεντρώνεται σε φαμμιτικά στρώματα του ανώτερου ορίζοντα το καθαρό πάχος του οποίου κυμαίνεται από 8-11μ. και αυξάνεται από βιορρά προς νότο. Τα πορώδη είναι υψηλά από 19-24%, ο κορεσμός σε νερό στα 25% και η διαπερατότητα από 280-400md. Η αρχική πίεση του κοιτάσματος ανεγχόνταν σε 2500psi

## 8. ΧΑΡΑΚΤΗΡΙΣΤΙΚΑ ΚΑΙ ΠΡΟΕΛΕΥΣΗ ΑΕΡΙΟΥ

Το αέριο της Νοτίου Καβάλας συντίθενται κατά 83% από μεθάνιο και σε χαμηλότερη σύνθεση 7.5% από αιθάνιο, 5% από προπάνιο, 1.5% από κανονικό βουτάνιο και 1.7% από ισοβοτάνιο. Τα νημάτοτερα συστατικά εκπροσωπούνται με λιγότερο από 0.5% το καθένα. Περιέχει συμπυκνωμένους υδρογονάνθρακες με 67 API και χαρακτηρίζεται από την παντελή απουσία H2S σε αντίθεση με αυτό του Πρίνου η συμμετοχή του οποίου φθάνει στο 60%. Αξωτο και διοξείδιο του άνθρακα συμμετέχουν με λιγότερο από 0.5% το καθένα.

Οι μητρικά πετρώματα θεωρούνται οι θαλάσσιοι και λιμνοθαλάσσιοι άργιλοι του Μειοκαίνου κυρίως της προεβαποριτικής σειράς το μέγιστο πάχος των οποίων υπολογίζεται αρκετές εκατοντάδες μέτρα. Τα μητρικά αυτά πετρώματα χαρακτηρίζονται από ένα κηρουγενές από σαπτροπηλό που οδηγεί στον σχηματισμό πετρελαίου με εν μέρει η πετριωτικής προέλευσης οργανικό ύλικό που μετασχηματίζεται σε αέριο (τύπος I και III αντίστοιχα στην κατατάξη των μητρικών πετρωμάτων, Proedrou and Sidiropoulos 1992). Ο ολικός οργανογενής άνθρακας των μητρικών αυτών πετρωμάτων κυμαίνεται από 1.2-3.9%. Συμμετοχή στον σχηματισμό αερίου φέρουν και οι πολλαπλοί σχηματισμοί ανθράκων στην βάση των νεογενών αποθέσεων της λεκάνης. Σύμφωνα με τα διαγράμματα ωριμότητας το πετρέλαιο και τα σχηματίζόμενα με αυτό αέρια εισήλθαν στο στάδιο ωριμάνσης στο τέλος του Μειοκαίνου σε χαμηλό βαθμό ωριμότητας. Το παραθίλιο ωχηματισμού αυτών ταπετείται στα 2500μ.

Οι δρόμοι μετανάστευσης των υδρογονανθράκων πρέπει ν αναζητηθούν στα πολλαπλά ορήματα βαρύτητας που διαυχίζουν την λεκάνη. Σημαντική Βιβλιοθήκη "Θεόφραστος" - Τμήμα Γεωλογίας Α.Π.Θ. περιβάλλει την περιοχή αυτής και αποσβένει στους κατώτερους εβαποριτικούς ορίζοντες είναι προφανώς η κύρια διοδος ανόδου.



*Fig 5. STRATIGRAPHIC CORRELATION OF THE SOUTH KAVALA RESERVOIR*

## 9. ΕΠΙΛΟΓΟΣ

Η λεκάνη του Πρίνου είναι η μοναδική περιοχή παραγωγής αερίου και πετρελαίου στο ελλαδικό χώρο από τα κοιτάσματα ταυτόχρονα σε εκμετάλλευση. Η ίδια λεκάνη είναι ένα μοντέλο για την έρευνα των νεογενών λεκανών του Βορείου Αιγαίου.

Το κοίτασμα που περιγράφεται είναι μικρό σε ζύγο και η εκμετάλλευση του στηρίχθηκε στην συμπαραγωγή με αυτό του Πρίνου. Καθ δύον τ αποθέματα του ξεντλούνται δεν θα παρουσιάζει κανένα ενδιαφέρον πλέον εκτός από την αποκομιδή όλων των επιστημονικών και τεχνικών σύμπερασμάτων. Ομως ο φυσικός αυτός ταμευτήρας συγκεντρώνει όλα εκείνα τα πλεονεκτήματα όπως δοκιμασμένη στεγανότητα, μικρό βάθος θάλασσας, μικρή απόσταση από την σεριά και οργανωμένη υποδομή της περιοχής από την πολύχρονη πετρελαική δραστηριότητα που ανεπιφύλακτα επιτρέπουν την μετατροπή αυτού στον πρώτο αποθηκευτικό χώρο για την διαφύλαξη στρατηγικών αποθεμάτων αερίου στην ελλαδική επικράτεια.

## REFERENCES

- BOUMA, A.H. (1962). Sedimentology of some flysch deposits, p. 168, Elsevier, Amsterdam.
- HSU K. J (1972). Origin of Saline giants: a critical-review after the discovery of the Mediterranean evaporite, Earth-Science Review, vol. 8, p. 371-396.
- LALECHOS N AND SAVOUAT E. (1977). La sedimentation neogene dans le fosse Nord Egee, Colloquim on the Geology of the aegean region, vol. II p.p. 591-603, ΙΑΙΑ, Athens.
- POLLACK W.H (1979). Structural and lithological development of the Prinos -Kavala basin, sea of Thrace, Greece: Annex Geologique pays Hellenic tome hors serie, fasc II, p. 1003-1011, VIIth international congress on Mediterranean Neogene, Athens.

- PROEDROU P. (1979). The Evaporite formation in the Nestos - Prinos graben in the northern Aegean sea: Annex Geologique pays Hellenic tome hors serie, fasc II, p 1013-1020, VII international congress on Mediterranean Neogene, Athens.
- PROEDROU P. (1988). New age determination of the Prinos basin: Bull Geol. Soc. Greece, Vol. XX, n. 2, p. 141-147.
- PROEDROU P. AND SIDIROPOULOS TH. (1992). Prinos field - Greece, Aegean basin, structural traps: Treatise of petroleum Geology, atlas of oil and gas fields, AAPG, p. 275-291.
- WALKER, R.G., AND E. MUTTI, (1973). Turbidite facies and facies associations, in G.V. Middleton and A.H. Bouma, eds., Turbidites and deep water sedimentation: SEPM Pacific Section Short Course, p. 119-157, Anaheim, California.